姚静,屈丽玮,朱庆亮,等. 陕西省强对流天气气候特征分析与对流指标探讨[J]. 陕西气象,2017(3):29-35. 文章编号,1006-4354(2017)03-0029-07

# 陕西省强对流天气气候特征分析与对流指标探讨

姚静,屈丽玮,朱庆亮,黄少妮,井宇 (陕西省气象台,西安 710014)

摘 要:选取 2007—2014 年陕西省 98 个气象站降水和冰雹观测资料、1970—2013 年数据完整的 90 个气象站的雷暴观测资料,采用统计方法分析陕西雷暴、冰雹、短时强降水的气候特征。结果表明:陕西强对流天气多发生于 10—20 时,其他时间发生的概率比较低。冰雹多发生在 5—8 月;短时强降水大多出现在 6—9 月,雷暴主要出现在 6—8 月。2007—2014 年,陕西降雹天气年际变化不明显,短时强降水的年际变化较大。1970—2013 年雷暴日整体呈减少的趋势,2007—2013 年明显偏少。冰雹天气的高值中心集中在陕西北部,短时强降水呈北少南多的特点,雷暴为中部少、南北多。利用 2007—2014 年探空资料和 MICAPS 资料统计陕西省冰雹和短时强降水天气的物理量指标,为短时临近天气预报提供依据。

关键词:强对流天气;冰雹;雷暴;短时强降水;物理量指标

中图分类号:P468

文献标识码·A

冰雹是一种局地性强、季节性明显的灾害性 天气,对工农业生产和人民生命财产均可造成严 重后果。许多学者对我国各地冰雹的发生、变化 规律及分布特征进行了深入研究。李照荣[1],郭 江勇[2], 刘德祥[3]等分析了西北五省冰雹的气候 特征和影响因子,发现西北地区5个冰雹源地分 别位于新疆、青海和宁夏南部,3个频发中心位于 青海南部的清水河、北州以及宁夏南部六盘山。 李向红等[4] 将广西省强对流天气形势分为副高 型、冷式切变型、热带低压型三种类型。李耀东 等[5]建立综合多指标叠套方法,可用于制作强对 流天气落区展望预报。李晓霞等[6]对甘肃省一次 强对流天气进行了数值模拟,指出风暴相对螺旋 度和能量螺旋度指数高值区可以较好地指示暴雨 落区。张晶晶等[7]模拟了湛江一次强对流天气过 程,模拟的最大回波强度效果较好,垂直液态水含 量中心与强回波中心比较一致。曹雪梅等[8]对延 安宝塔区 2004-2013 年冰雹天气的时空分布特 征进行分析,指出近10年来年平均冰雹日增加明

显,冰雹最大直径变化较大,以小冰雹居多。陕西位于黄河中游地区,南北狭长,跨越十个纬距,自南向北横跨北亚热带、暖温带、中温带三个气候带<sup>[9]</sup>,是冰雹和强降水等强对流天气频繁发生的区域,强对流天气给陕西农业生产造成严重危害。近10年来有关陕西全省强对流天气气候特征的研究较少。本文统计分析了陕西省雷暴、冰雹、短时强降水等强对流天气的气候特征,探讨强对流天气的物理量指标,为强对流天气短时临近预报提供参考依据。

#### 1 资料与方法

以1d之内出现1站冰雹天气记作1次冰雹,当自动气象站1h出现大于等于10mm降水记作1次短时强降水,资料为2007—2014年陕西省98个气象站观测数据。以1d之内出现1站雷暴记作1次雷暴,资料为1970—2013年数据完整的90个气象站的雷暴数据。资料来源于陕西省气象信息中心历史数据库。各种强对流天气出现频次按照出现的站次进行统计。

收稿日期:2016-10-10

作者简介:姚静(1985—)女,汉族,陕西渭南人,硕士,工程师,从事短时天气预报研究。

基金项目:2015 年陕西省预报员专项(2015Y-3);2017 年陕西省气象局青年基金(2017Y-2)

基于统计分析方法,分析 2007—2014 年陕西省冰雹、短时强降水天气,1970—2013 年雷暴的时空分布特征。2007—2014 年共有 133 个冰雹个例和 54 个短时强降水个例,根据 MICAPS 系统 TlogP 图中各种物理量指数,分地区、分天气类型按月给出冰雹和短时强降水天气的强对流指数阈值。

## 2 冰雹时空分布特征

## 2.1 时间变化特征

2.1.1 年际变化 对 2007—2014 年陕西省冰雹 资料进行统计(图 1),8 a 共有冰雹 205 站次,年 平均降雹 26 站次。降雹天气年际变化不明显,2009 年冰雹频次不到 10 站次,最多年达 34 站次 (2013 年)。统计陕西省最早降雹日和最晚降雹日年际变化,没有发现明显的变化规律(图略)。

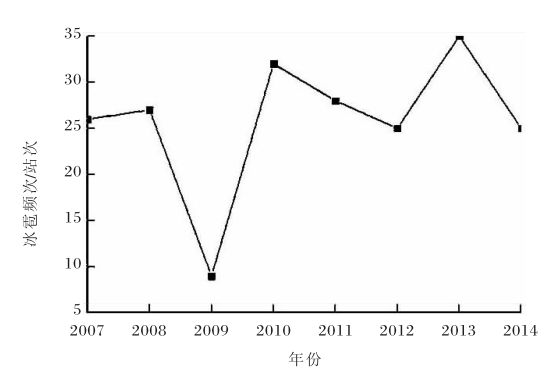


图 1 2007-2014 年陕西冰雹频次年际变化

2.1.2 日变化 冰雹日变化明显,呈午后单峰型。00—08 时陕西省降雹最少,仅占总数的1%。09 时以后随时间变化逐渐增多,13—20时是降雹主要时段,占80%,其中14—19 时是降雹的高峰期,这是由于午后随着太阳高度角升高,近地面层增温,大气不稳定能量增大,在水汽充沛的情况下,如果有外界的触发条件,容易形成强对流天气。

2.1.3 月变化 冰雹逐月变化图(图 2)显示,陕西省的降雹具有季节性强的特点,12、1 月为无雹时段,2—11 月均出现冰雹。降雹最早出现在 2 月 28 日(2010 年商南县),最晚出现在 11 月 11日(2009 年石泉县)。冰雹大多出现在 4—9 月,陕西大部分地区属于夏雹区,最多为 5—8 月,占降雹总数的 71%。其中以 6 月最多,平均每年出

现 5.8 站次,占全年总降雹数的 22.4%;其次为 5 月和 7月,平均出现 4.6 站次,占 17.6%。总之,陕西的降雹季节变化呈现单峰型,6 月为降雹最多的月份,是冰雹预报最值得关注的时间段。

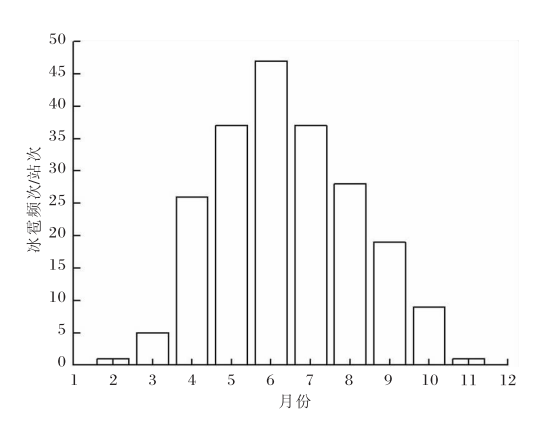


图 2 2007-2014 年陕西累计降雹频次月分布

# 2.2 空间分布特征

陕西冰雹总的分布特征是北部多于南部。从年均冰雹频次分布来看(图 3),陕北榆林是冰雹的高发区,平均每年降雹达到 10 次以上,关中地区的旬邑达 7 次以上,陕南东部的商洛达 5 次以上,关中、陕南其他地区降雹较少,大多在 3 次以下。陕西降雹的空间分布与海拔高度、地形和下垫面性质等有一定关系:陕北黄土层裸露,夏半年地面受较强的太阳辐射,容易产生不稳定的大气层结,当有适合的高空天气系统结合,容易发生冰雹天气[10]。

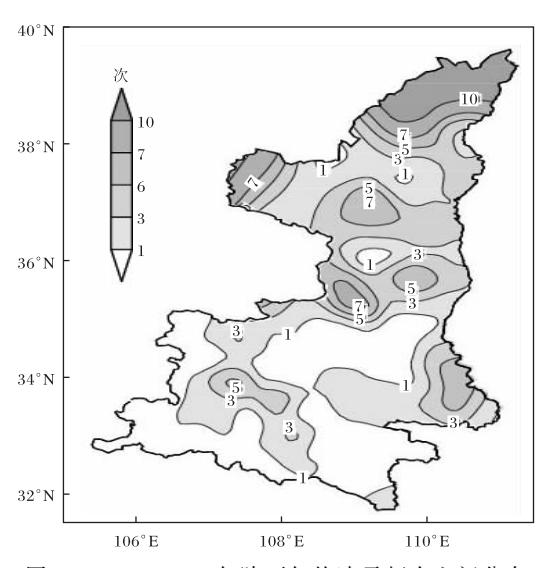


图 3 2007-2014 年陕西年均冰雹频次空间分布

## 3 短时强隆水时空分布特征

#### 3.1 时间变化特征

2007—2014年短时强降水频次年际变化(图 4)显示,短时强降水的年际变化较大。2008—2010年逐年增多,2010年达到峰值(190 站次),2011年大幅减少,2012—2013有所增多,2014年又大幅降到谷值,只有 70 站次。

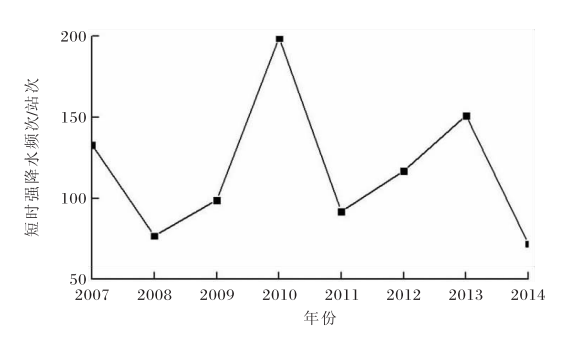


图 4 2007-2014 年陕西短时强降水频次年际变化

陕西短时强降水具有非常明显的月际变化特征(图 5),6—9 月是强降水出现的高发期,其中以 7—8 月最多,7 月占全年的 46%,8 月占32%。7—8 月是陕西的主汛期,主要是由于7—8 月陕西位于副高的西北侧,水汽充沛,当河套北部有短波槽经过时,由于槽前有上升运动,如果配合地面上的辐合系统,多引发降水天气过程。

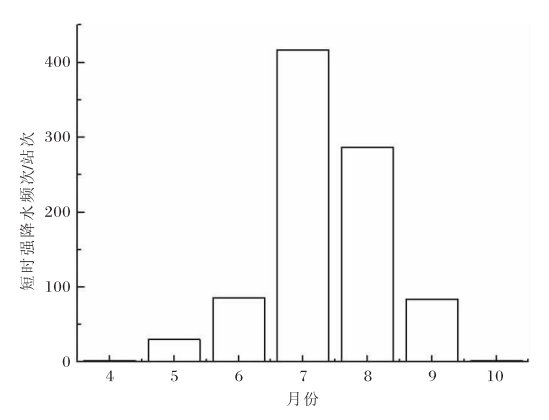


图 5 2007-2014 年陕西累计短时强降水频次月变化

# 3.2 空间分布特征

由陕西省年均短时强降水频次分布(图 6) 可以看出,从北向南有 3 个强中心,分别位于关 中北部、陕南西部、陕南东部。陕南为强降水多 发区,汉中南部年均短时强降水达 14 次以上, 商洛东部达 16 次以上,关中北部的铜川 14 次以上。总的分布特征是高原和高山多,河谷、盆地、平川少。

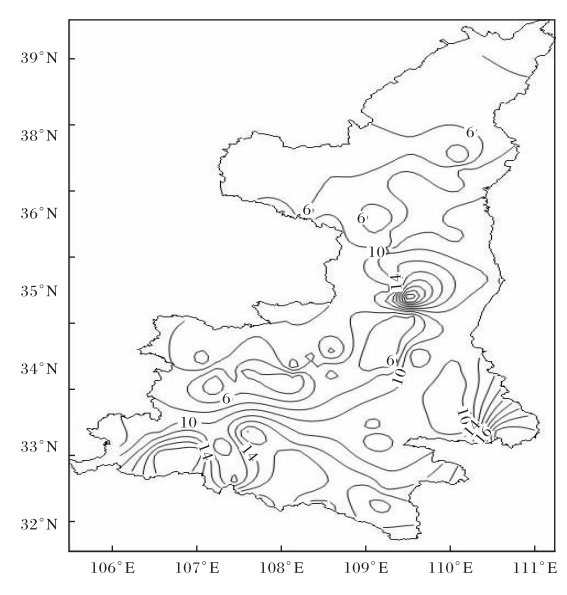


图 6 2007—2014 年陕西年均短时强降水 频次空间分布(单位:次)

## 4 雷暴的时空分布特征

#### 4.1 时间变化特征

图 7 为陕西雷暴频次年际变化曲线。雷暴年际差异较大,但是整体呈减少的趋势,特别是2007—2013 年明显减少,说明近年来强对流天气明显偏少,2009 年最少。

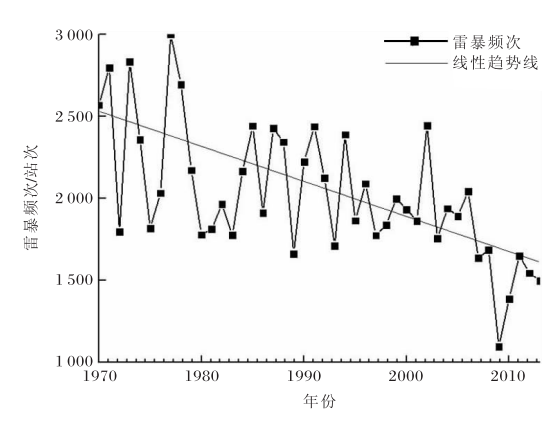


图 7 1970—2013 年陕西雷暴频次年际变化

从陕西省平均雷暴频次月变化(图 8)可以看出,陕西省雷暴也呈单峰分布:12 月至次年 2 月几乎不发生雷暴,4 月开始逐渐递增,集中出现在6—8 月,7 月为峰值,8 月开始逐渐减少。

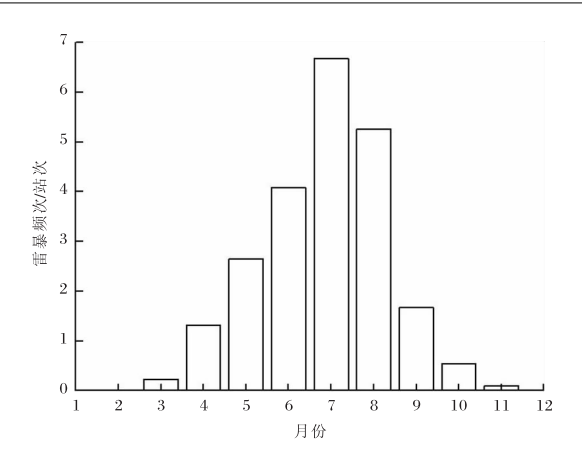


图 8 1970-2013 年陕西平均雷暴频次逐月变化

# 4.2 空间分布特征

图 9 为 1970—2013 陕西省累计雷暴频次空间分布图。由图 9 可以看出,雷暴整体呈南北多,中部少的分布特点。雷暴这种分布形势与陕西地形有关,陕西北部为沙砾滩地和黄土高原,南部为山地丘陵,而中部为关中平原。夏季由于这些地区下垫面的不同,沙砾滩地和山地丘陵比热容比关中平原小,地面升温快,容易形成对流性天气[9]。

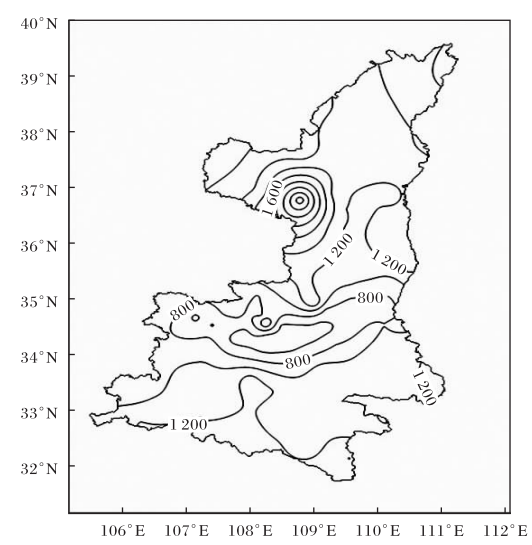


图 9 1970—2013 年陕西累计雷暴频次空间分布(单位:次)

#### 5 强对流天气的物理量指标探讨

陕西强对流天气多发时段为 6—9 月,因此主要分析 6—9 月强对流天气预报的物理量指标。

# 5.1 冰雹天气各类指数

以一天中一个自动站及以上出现冰雹作为一个冰雹日,2007—2014年陕西省共有冰雹日133 d。 冰雹天气的大尺度天气学条件是水汽、条件性不稳 定层结和抬升触发机制,位势和层结不稳定是强对流活动最重要的基本条件,对流能量的大小决定了对流发展的程度。因此,有必要分析大气位势和层结不稳定、对流能量、垂直风切变等物理量指标特征,为冰雹潜势预报提供依据。选择陕西及上游地区5个探空站为研究对象,分别为东胜(53543)、延安(53845)、平凉(53915)、汉中(57127)、安康(57245),按照就近原则,以东胜站代表榆林站,平凉站代表宝鸡站。对各高空站08时、20时的探空资料进行统计筛选,发现5个指标在陕西冰雹天气过程中有较好的指示作用。这些指标能够反映大气的对流不稳定性、水汽、能量和垂直风切变等信息。分月、分区域分别统计各物理量指标的平均值(表1~表5),给出冰雹预报的阈值。

5.1.1 风暴强度指数(SSI) SSI 是一个无量纲数,SSI 越大,说明强对流天气发生的可能性越大。统计分析陕西省冰雹发生当日的风暴强度指数,计算其月平均值。当冰雹发生时,月平均 SSI 在 169~267 之间,且大多在 200 以上。

表 1 陕西冰雹天气风暴强度指数月平均值

月份	东胜	延安	平凉	汉中	安康
6	220.9	232. 1	233. 1	266.6	221.3
7	218.0	232.7	230.3	235.5	213.3
8	178.5	227.5	248.1	169.7	232.3
9	236.3	235.1	225.0	241.0	237.0

5.1.2 强天气威胁指数(SWEAT) 对陕西省冰雹天气过程的 SWEAT 分析发现,陕北和关中地区 7—8月的 SWEAT 较高,为 170~260;6月略低,9月次之。陕南地区 6月 SWEAT 最高,7、8、9月依次降低。在业务中当 SWEAT 大于 200时,要加强对冰雹天气的监测。

表 2 陕西冰雹天气强天气威胁指数月平均值

月份	东胜	延安	平凉	汉中	安康
6	89.6	192.3	86.8	266.6	256.8
7	172.9	223.0	206.7	249.5	240.3
8	178.5	254.0	209.0	227.1	235.9
9	188.7	239.3	127.3	224.5	225.1

5.1.3 抬升指数(LI) LI 为平均气层从修正的低层 900 m 高度沿着干绝热线上升,到达凝结高度后再沿湿绝热线上升到 500 hPa 时所具有的温度(T') 与 500 hPa 等压面上的环境温度  $T_{500}$  的差值<sup>[14]</sup>。表达式为 LI 值 =  $T_{500}$  — T', LI 越大,说明发生冰雹天气的可能性越大。

表 3 陕西冰雹天气抬升指数月平均值 ℃

月份	东胜	延安	平凉	汉中	安康
6 月	1.57	3.40	0.34	4.08	5.11
7月	1.96	2.29	1.43	2.80	3.30
8月	1.95	2.24	1.20	2.00	3.45
9月	1.60	3.30	0.23	2.57	1.50

从统计分析的结果可知,陕西省 LI 普遍介于  $0.23\sim5.11$   $\mathbb{C}$ 之间,陕北、关中低于陕南。大多数情况下,7、8 月抬升指数高于 6、9 月。在业务预报中,当 LI 大于 2  $\mathbb{C}$ 时,应关注冰雹天气过程。 5.1.4 K指数 K指数总体是表示大气层结稳定情况,K指数越大,表示层结越不稳定 [14]。陕西省冰雹天气发生时 K指数范围在  $23\sim37$   $\mathbb{C}$ 之间,8 月 K指数最高,范围在  $30.0\sim36.5$   $\mathbb{C}$ 之间,6 月最低。

表 4 陕西冰雹天气 K 指数月平均值  $^{\circ}$ 

月份	东胜	延安	平凉	汉中	安康
6 月	20.6	28.3	23.0	26.48	28. 3
7月	27.6	32.5	30.9	34.5	36.0
8月	30.0	35.5	33.3	36.5	36.2
9月	26.0	32 <b>.</b> 5	30.9	34.5	36.0

5.1.5 0 ℃、-20 ℃层高度 0 ℃、-20 ℃层高度在冰雹天气的分析常常用到。上升气流极大值高度高于 0 ℃层高度,有利于形成冰雹。在 0 ℃层和-20 ℃层高度之间这个区域是冰雹形成的雹源区。对流云伸展高度较低,不容易形成冰雹。统计分析陕西省强对流发生当日 0 ℃、-20 ℃层高度月平均值,0 ℃层高度在 4 km 左右,-20 ℃层高度在 7 km 左右。

5.2 短时强降水天气各类指数 定义: 当一日中有 5 个及以上的站点达到短 时强降水标准,选取该日为一个短时强降水日。短时强降水资料使用 2007—2014 年陕西省 98 个自动气象站逐小时的降水量资料。利用 MI-CAPS 高空、地面实况数据,对 2007—2014 年陕西 54 个短时强降水日进行环流分型,得出 5 类主要天气形势: 低槽型、低槽—副高型、低涡型、台风影响型和副高控制型。其中低槽型占 61%,低槽—副高型占 26%。其余占 13%。

通过对陕西探空资料的热力、湿度和层结物理量的统计,得出各种类型短时强降水的预报指标(表6)。陕西各种类型的短时强降水天气均有较好的不稳定条件,K指数都在33℃以上。有副高影响时 K指数可以达到36℃以上。位于副高边缘或副高控制时,对流有效位能 CAPE 值较大,可以达到1000 J/kg 以上,比其他类型的短时强降水不稳定能量更强。从湿度条件来看,比湿在700 hPa上大多为8~10 g/kg,850 hPa可达10~15 g/kg,低槽—副高型的水汽输送最强,其产生的短时强降水的范围也最广。从层结条件来看,西风带系统产生的短时强降水,0℃层高度一般较低,表明了冷空气影响较强,而受副高影响的短时强降水,0℃层高度在5km以上,表明气层暖湿。

## 6 结论与讨论

(1)从时间分布来看,2007—2014年,陕西降雹天气年际变化不明显,2009年冰雹频次不到10站次,2013年最多为35站次,以5—8月出现最多。短时强降水的年际变化较大,2010年短时强降水频次最多达190站次,2014年最少为70站次。6—9月是强降水出现的高发期,以7、8月最多。陕西的雷暴天气自20世纪70年代到2014年呈现波动式减少,2007—2013年明显偏少。雷暴天气集中出现在6—8月。陕西的强对流天气多发生于10—20时,其他时间发生的概率比较低。

(2)从空间分布来看,陕西省强对流天气分布不均。陕北冰雹发生率较多,关中、陕南较少。短时强降水由北向南依次增加,陕南为强降水多发区,总的分布特征是高原和高山多,河谷、盆地、平川少。雷暴为中部少、南北多。

表 5 陕西冰雹天气 0 ℃、-20 ℃层高度月平均值

月份 — 东胜		<b>注</b>	延安		平凉		汉中		安康	
月饭	0 ℃		0 ℃		0 ℃		0 ℃		0 ℃	-20 ℃
6月	4 223	7 015	4 134	7 326	4 249	7 950	4 044	7 945	5 216	7 544
7月	4 313	7 189	4 388	7 975	4 168	7 002	4 336	7 390	4 500	7 554
8月	4 344	7 500	4 286	7 820	4 074	7 159	4 243	7 276	4 219	7 501
9月	5 058	7 434	4 256	7 704	4 902	7 190	4 003	7 150	4 720	7 512

表 6 陕西短时强降水预报物理量指标

指标类型	物理量	低槽型	低槽-副高型	低涡型	台风影响型	副高控制型
	K 指数/℃	38	39	33	35	39
+4.	SI 指数/℃	0.2	-1.4	1.6	1.3	0.4
热力	t 850−500 /°C	28	25	27	25	29
/1	LI 指数/℃	<b>-1.</b> 85	-5.6	<b>-1.</b> 9	-1.8	-2.4
	CAPE 值/(J/kg)	500	1 200	600	1 000	1 500
ND	700 hPa 比湿/(g/kg)	8	10	7	8	10
湿 度	850 hPa 比湿/(g/kg)	10	15	10	12	12
反	整层比湿/(g/kg)	4 155	5 703	3 800	4 661	4 646
 层	0 ℃高度/m	4 642	5 457	4 202	5 358	5 704
结	LCL 值/m	781	886	823	850	766
综	SWEAT	173	252	119	266	201
合	SSI	262	279	237	203	239

(3)统计陕西冰雹天气多发月份的预报指标,发现 5月 K 指数>25 ℃左右,6—9月 K 指数>32 ℃时冰雹天气易发,冰雹发生时 850 hPa 与500 hPa 的温差大于 26 ℃,0 ℃层高度在 4 km 左右,-20 ℃层高度在 7 km 左右。陕北和关中地区 7—8月的强天气威胁指数较高,介于 170~260之间。陕南地区 6月强天气威胁指数最高。风暴强度指数在  $169\sim267$  之间,多在 200 以上。当抬升指数大于 2 ℃时,应关注冰雹天气过程。

(4)陕西短时强降水主要天气形势有 5 类:低槽型、低槽-副高型、低涡型、台风影响型和副高控制型。 K 指数均在 33 ℃以上,有副高影响时 K 指数可达 36 ℃以上。位于副高边缘或副高控制时,对流有效位能较大,可以达到 1 000 J/kg 以上。比湿在 700 hPa 上大多为 8 ~ 10 g/kg,850 hPa可达 10~15 g/kg,低槽-副高型的水汽

输送最强。西风带系统产生的短时强降水,0  $^{\circ}$  层高度一般较低;而受副高影响的短时强降水,0  $^{\circ}$  层高度在 5 km 以上。

#### 参考文献:

- [1] 李照荣,瑞津,董安祥,等. 西北地区冰雹分布特征 [J]. 气象科技,2005,33(2):160-166.
- [2] 郭江勇,张强,杨民.对西北地区冰雹影响因子的 探讨[J]. 灾害学. 2005, 20(1):40-43.
- [3] 刘德祥,白虎志,董安祥.中国西北地区冰雹的气候特征及异常研究[J].高原气象,2004,23(6):795-803.
- [4] 李向红,唐伍斌,李垂军,等.广西强对流天气的天气形势分析与雷达临近预警[J].灾害学,2009,24 (2):46-50.

樊纲惟,董立凡,樊洁馨,等.汉中盆地水稻气候牛产潜力分析与评价[J].陕西气象,2017(3):35-38.

文章编号:1006-4354(2017)03-0035-04

# 汉中盆地水稻气候生产潜力分析与评价

樊纲惟1,董立凡2,樊洁馨3,王 欣4,王岚玉1

- (1. 略阳县气象局,陕西略阳 724300:2. 秦都区气象局,陕西咸阳 712000:
- 3. 汉中市气象局,陕西汉中 723000;4. 汉台区气象局,陕西汉中 723000)

摘 要:利用汉中市汉台区气象站 1970—2015 年的气象资料,采用逐步订正模型,计算了近 46 年 汉中水稻光合生产潜力、光温生产潜力和气候生产潜力。结果表明:汉中盆地水稻光合生产潜力 为 23 265 kg/hm²,光温生产潜力为 20 532 kg/hm²,气候生产潜力为 18 298 kg/hm²。汉中盆地水稻生育期为 4—9 月,生育期光热资源较好,水资源丰富,但存在水稻生育期降水分布不均的问题,建议 4—6 月适量增加灌溉,7—9 月降水偏多,易造成水稻减产,应注意防涝排涝。

关键词:汉中盆地;水稻;气候资源;生产潜力;评价

中图分类号:S162

文献标识码:A

农业气候资源是农业自然资源的重要组成部分,气候资源的利用率直接影响农作物产量和品质。作物气候生产潜力是评价农业气候资源的判据之一,取决于光、温、水三要素的数量及其相互配合协调的程度<sup>[1]</sup>。通过对一个地区气候生产潜力进行估算,可以反映该地区的气候生产力水平和农业资源协调程度,分析出不同要素对生产力影响的大小,从而发现一个地区农业生产中的主导限制因素<sup>[2]</sup>。

汉中盆地位于陕西省西南部,东经 105°30′50″~108°16′45″,北纬 32°03′54″~33°53′16″,属温暖湿润的亚热带气候,主产水稻、小麦、玉米、油菜等。其中水稻是最重要的粮食作物,常年种植

面积 9.33 万 hm²,约占全省的 70%[3]。为促进 汉中盆地经济可持续发展和自然资源合理开发利用,本文利用汉台区气象站 1970—2015 年的气温、降水量、日照时数等气候观测资料,采用定量评估方法对汉中盆地水稻气候生产潜力进行定量分析,找出主要制约和影响因素,探讨通过采取适当措施充分挖掘可能的增产潜力,为该地区农业持续发展提供理论和决策依据。

#### 1 分析方法

光、温、水是作物生长发育不可缺少的气候因子,本文根据这三个要素来计算汉中盆地的水稻生产潜力。关于气候生产潜力的计算问题,国内外已有不少研究<sup>[4-5]</sup>。采用高素华的"作物生长动

收稿日期:2016-08-31

作者简介: 樊纲惟(1988—), 女, 汉族, 陕西宁强人, 硕士, 助理工程师, 从事气候与生态环境方面的研究。

- [5] 李耀东,高守亭,刘健文.对流能量计算及强对流 天气落区预报技术研究[J].应用气象学报,2004, 15(1):10-20.
- [6] 李晓霞,康凤琴,张铁军,等.甘肃一次强对流天气的数值模拟和分析[J].高原气象,2007,26(5):1077-1085.
- [7] 张晶晶,于华英,吴彬.一次强对流的三维数值模拟分析[J]. 气象与减灾研究,2009,3(1):39-45.
- [8] 曹雪梅,蒋小莉,王凌军,等.延安宝塔区近10年冰雹时空分布与历史状况对比[J].陕西气象,2016(1):13-16.
- [9] 杜继稳,侯明全,梁生俊,等.陕西省短期天气预报 技术手册[M].北京:气象出版社,2007:1-8.
- [10] 雷崇典,戴彩悌. 陕北地区左移强雹暴[J]. 气象 科学,2004,24(3):361-366.